

法があるかもしれない。

3. 酸化チタンの分散性

媒体に懸濁前の乾燥状態における存在状態を走査型電子顕微鏡で観察した。酸化チタンごとに、左から 3000 倍、10000 倍、50000 倍の電顕写真を図 2 に示した。SMT-500SAS 及び MT-500B では、一次粒子径 30~35 nm の単一の粒子の存在がわざかに確認できるが、AMT-600 にはほとんど認めることができなかった。いずれも凝集して 100 nm 以上の大きさの塊になっているものがほとんどを占めていた。

電顕観察では、ごく少数でも nm の単一粒子となっていれば定性することができるものの、どれくらいあるのかといった量的なものについて数値的に比較することは困難である。また、標本作製中に粒子が再凝集し、媒体中とは異なる状態の形態を見ている可能性もある。

粒度分布をゼータサイザーナノにより測定した結果を図 3 に、縦軸に散乱光強度頻度、横軸に粒子径を対数で示したヒストグラムと累積曲線で示した。また、それぞれの条件における酸化チタンの平均粒子径を表 5 にまとめた。ベンタラン中ではいずれの酸化チタンとも、Z-Average (平均粒子径) は 163~300 nm と、他の媒体に比べて小さい値を示した。しかし PdI 値は 1.000 を示した。シリコーンオイル中では、ルチル型で表面コーティング処理した SMT-500SAS の Z-Average が 358 nm、表面コーティングのない MT-500B では 560 nm となり、PdI 値も低く良好に分散した。一方、アナターゼ型の AMT-600 は Z-Average が 1246 nm で、大きな粒子径となって存在した。エタノールに懸濁した SMT-500SAS は Z-Average が 178 nm、PdI 値 0.126 と、今回用いた媒体の中では小さな粒子として存在するものが多かった。一方、MT-500B は 1235 nm と大きな値を示し、同じ媒体でも酸化チタンの種類によって粒度分布が異なることがわかった。水に懸濁させたときは、表面コーティングがない酸化チタンはいずれも凝集し、特に MT-500B はすぐに沈殿を生じた。

各酸化チタン粒子の懸濁液について、ゼータ電位を測定した（表 6）。シリコーンオイル中で、SMT-500SAS は 49.7 mV と正の電荷を有し、

MT-500B 及び AMT-600 は負の電荷を有した。水中では逆に、SMT-500SAS は -39.3 mV と負の電荷を有したもの、MT-500B 及び AMT-600 はほとんど電荷がなかった。表面コーティングするとゼータ電位が変化し、粒子どうしの凝集が抑制されることがわかった。

ゼータ電位と粒度分布は比較的よく相関し、どちらかの測定によっておおよその分散度を予測できる。しかし、今回用いた機器では、媒体が荷電するようなものでないと信頼性がないこと、媒体の物理学的性質が不明であったり粘度が高かったりするものは測定できないこと、すぐに沈殿を生じるようなものには適さない等の問題点がある。また、粒子数は相対頻度%で表わされるため、ごく少数のナノ粒子の存在を確認できない。

In vivo でナノ物質を試験する場合、適用時に粒子が凝集していても、物理的に、あるいは細胞の食食等により単一の粒子になる可能性もある。こうした粒度分布を測定しておくことで、その実験がナノ物質を試験しているのか、あるいはバルクと変わらない大きなサイズの凝集体を試験しているのか知ることができる。いずれの方法を用いるにしても、あらかじめ、粒子のキャラクタライゼーションをしておくことは、得られる試験の結果の解釈に重要である。

4. チタンの定量

4-1. 検量線と定量限界

各濃度のチタン標準溶液について、時間分析で質量数 47、48 及び 49 でモニターしたピーク面積を測定した。検量線は、チタンは 2.5~500 ng/ml の濃度範囲でピーク面積との間に良好な直線性が得られた。25%硝酸溶液を用いて調製したチタン標準液の検出限界は 2.5 ng/ml であったが、正確な定量にはさらに高い濃度（10 ng/ml 程度）が必要であった。この濃度は 0.1%硝酸で得られる値よりも大きく、試験溶液中の硝酸の濃度が高いほど、検出感度が低く定量感度も悪くなつた。

4-2. 分解容器の前洗浄の必要性

前洗浄処理していないテフロン製の分解容器に、各濃度のチタン標準溶液を入れ、マイクロウェーブ処理したところ、添加量以上のチタンが検出された。同様の容器に水 1 ml、硝酸 6 ml 及びふつ化

水素酸3 mlを入れ、分解条件と同じ条件でのマイクロウェーブ処理を2回繰り返した。その結果、1回目の分解液にはいずれの容器からもチタンが検出されたが、2回目の分解溶液には少なくなり、いずれのも同程度で定量限界レベルの値になった(図4)。

したがって、分解容器には試験ごとに酸化チタンが付着して残存するため、微量の酸化チタンをマイクロウェーブ処理して分解し、定量するには、分解容器を十分に前洗浄が必要と思われた。

4-3. 分解溶媒の選択

酸化チタンの分解法として種々の方法が報告されている。^{7,9)} ここでは、まず、酸化亜鉛と同様の分解液、硝酸3 ml+過酸化水素2 ml+水2 mlの混液を検討した。例えば、MT-500B約0.3 μgはチタン量として約0.2 μgに換算されるが、回収されるチタン量は0.12~0.29 μgで回収率は61.5%及び109.3%であった。また、酸化チタン約3.0 μgの回収率も22.1~76.5%と試験ごとにばらつき不十分であった。

次に、硝酸-ふつ化水素酸を分解液として用いた。ふつ化水素酸は腐食性が高いため、分解後、ホットプレート上で加熱して除去した。MT-500Bを硝酸3 ml、ふつ化水素酸2 ml及び水2 mlを加えて処理した。酸化チタン約0.3 μg、チタンとして0.2 μgを処理した分解液中のチタン検出量は、0.08~0.76 μgであった。これは、添加量の40.9~380.4%が回収されたと計算され、用いた条件では、分解時の容器からの溶出や濃縮時の容器間の相互汚染が大きいことが原因と思われた。

分解液を硝酸に変更した。MT-500Bに、硝酸5 ml、水2 mlを加えて、マイクロウェーブ処理し、分解保持時間は、2分から20分に延長した。分解液のみ加えて処理したBlankに0.39 μgのチタンが検出された。酸化チタン0.32 μg、チタンとして0.19 μgを硝酸で分解した後、定量されるチタン量は0.55 μgとなつたが、Blankでの値を差し引くと、0.55-0.39=0.16 (μg)、添加したチタン量の84.0%となつた。この10倍量の酸化チタンについて同様の検討を行つたところ、添加量の105.8%が定量された(表7)。このように、Blank値を差し引かない場合の値は、実質量よりも多く見積もる可能

性があるが、Blank値は一定したものでないため、その時の値の大きさにより定量値が変化する可能性がある。濃度の低い試料については、定量値の信頼性が劣ることを念頭におくべきである。

4-4. 添加回収試験

確立した条件で生体組織中のチタンを定量的に分析できるかどうか検討した。ラット肝臓0.2 gに各濃度のチタン標準溶液1 mlを添加して、硝酸5 ml及び水2 mlを加えてマイクロウェーブ処理した。その後、水で20 mlに定容したものを試験溶液とした。ここでは、チタンは質量数47、48及び49それぞれで検出した。試料溶液を質量数47でモニターした場合(Ti47)、チタン濃度は67.3 ng/ml、48で検出した場合(Ti48)は12.5 ng/ml、49でモニターした場合(Ti49)では10.7 ng/mlと定量された。臓器にチタン0.2 μgを添加して分解した試料溶液には、質量数47でモニターした場合75.8 ng/ml、48では20.8 ng/ml、及び49では19.5 ng/mlの濃度でチタンが検出された。質量数47でモニターした場合には48や49でモニターするよりも多めに定量された。臓器中にはチタンが存在すると仮定して、チタン添加臓器での濃度から臓器のみでの濃度を差し引くと、Ti47: 75.8-67.3=8.5 (ng/ml)、Ti48: 20.8-12.5=8.3 (ng/ml)、Ti49: 19.5-10.7=8.8 (ng/ml)と、いずれの質量数でモニターした場合でもほぼ同程度の値を示し、この値は添加したチタンによる増加を示すものとした。これを添加量と比較して回収率を求めるとき、Ti47では84.0%、Ti48では83.2%、Ti49では88.4%とほぼ満足できる結果が得られた(表8)。同様に、臓器に添加した2 μg及び10 μgのチタンの回収率は88.9~102.1%と良好であった。

今回の検討は、臓器中のチタンはイオン状態であるとの観点で行っているが、酸化チタン粒子として存在する場合には、臓器に酸化チタンを添加して回収率を見る必要があり、今後の検討とした。ICP-MSの分析モードの変更、及び試料導入法の改良など、分解条件を含め、臓器中の酸化チタンの定量法については更に検討が必要である。

5. 皮膚感作性反応に及ぼす影響

ナノ物質を含む製品の安全性評価として、ナノ物質自身の生体に及ぼす影響、例えば、化粧品で

あれば経皮吸収されて蓄積、標的臓器で毒性を示すかどうかを見ることが必要である。一方、ナノ物質が他の成分に対し作用して品質を変化させたり、その生体影響を増悪させたりしないかどうか確認することも重要である。化学物質の皮膚機能傷害の一として、皮膚アレルギー（感作）性がある。今回、酸化チタンが皮膚感作性反応に及ぼす影響について、LLNA¹⁰⁾の放射性物質を用いない改良法であるLLNA-DA法^{4,5)}を用いて検討した。

感作性陽性対照物質としてCAを用いた。¹¹⁾まず、CAを適用する溶媒によって反応性に差があるかどうか検討した。CAをそれぞれの濃度でエタノール(EtOH)またはアセトン-オリーブ油(4:1)混液(AOO)に溶解した。エタノール対照群でのリンバ節重量が低かったため、AOOを溶媒で用いたときよりもCA塗布群でのSI値は高いが、絶対リンバ節重量及びATP量の値は各濃度で差はなかった(表9)。ATP量のSI値が3を超えるCAの濃度は2.5~5%であった。CAの感作性強度を評価するための溶媒として、エタノール及びAOOは同様の試験結果を示すと判断した。

酸化チタンが感作性を有するかどうかを調べた。溶媒としては、分散性が良く、CAとの混合適用が可能であるエタノールを用いた。マウス耳介リンバ節の重量及びATP量は、5~20%の濃度のいずれの酸化チタン適用群もSI値が3を超えないことから、皮膚感作性は有しないと判断した(表10)。

次に、酸化チタンが感作性誘導反応を増強するかどうか確認するため、それぞれの酸化チタンをCAと共に存させて適用した。エタノール中のCAの濃度は0~10%、酸化チタンは5%とした。まず、MT-500BとAMT-600を比較した。MT-500B及びAMT-600共存下でのCAによるリンバ節重量及びATP量の増加反応は、両物質間で差ではなく、MT-500BとAMT-600の反応性は同等であると判断した(表11)。次に、SMT-500SASとMT-500Bを比較するため試験した。SMT-500SASとMT-500Bを共存させた場合、CAによるATP量の増加率は、これらを共存していない場合に比べて若干増加した。また、SMT-500SASの方がMT-500Bよりも増強効果が大きかった。これらの差は、表面コーティングの有無の違いによるこ

から、コーティング剤の成分が影響している可能性もある。さらに、分散性、あるいはCAの皮膚吸収を促進するような因子もあるのかもしれない。実験上、こうした酸化チタンを共存させて塗布すると、白色の色がマウスの耳につくことから、塗布の仕方が丁寧になった可能性もある。こうした酸化チタン粒子の塗布が化学物質のアレルギー反応に影響を及ぼすかどうかということを検討した報告はなく、再現性を含めて今後検討を続ける必要がある。

D. 結論

水に懸濁した酸化亜鉛は表面が正の電荷を有し、一次粒子径30~40nmのMZY-303S及びMZ-300は数百nmに2相性の、粒子径の大きいZO-250では1000nm以上に1相性の粒度分布を示した。ペントラン中の酸化亜鉛はいずれも幅広い粒度分布を示し、平均粒子径も545nm~1364nmであった。生体組織中に蓄積した酸化亜鉛は、硝酸一過酸化水素混液を加えてマイクロウェーブ分解しICP-MSで定量することができるが、大量の蓄積がもともと生体中に含まれる亜鉛量との区別には必要である。シリコーンオイル中では、一次粒子径35nmのルチル型で表面コーティング処理したSMT-500SASの平均粒子径が358nm、表面コーティングのないMT-500Bでは560nm、一次粒子径30nmのアナターゼ型のAMT-600は1246nmであった。エタノールに懸濁した時のSMT-500SASが最も平均粒子径が小さく、水に懸濁させるといずれもμmレベルに凝集した。ゼータ電位と分散度は比較的相關したが、凝集した粒子の多い懸濁液については正確な分析は困難であった。生体組織中の酸化チタンの定量には、チタンへの分解処理段階でのマイクロウェーブ分解容器の前洗浄が微量金属の分析には重要であり、分解液としては硝酸が今回検討した中では良かった。酸化チタンには皮膚感作性を認めなかった。一部の酸化チタンに、けい皮アルデヒドの感作誘導反応を増強する傾向が認められたが、ばらつきの範囲内かどうか、更に検討が必要である。

E. 参考文献

1. 吉岡隆嗣, 岩崎敬子. 微粒子酸化チタン, 微粒子酸化亜鉛の分散. 島田邦男監修. 化粧品開発とナノテクノロジー, pp.136-143, シーエムシー出版, 東京 (2007)
2. A. M. Fond and G. J. Meyer. 酸化金属ナノ粒子類の生物学的毒性. 小林 剛訳註. ナノ素材の毒性・健康・環境問題. p.2-30, NTS, 東京(2007)
3. P. H. M. Hoet, I.Brukse-Hohlfeld and O. V. Salata. ナノ材料の健康インパクト. 小林 剛訳註. ナノ素材の毒性・健康・環境問題. p.46-70, NTS, 東京 (2007)
4. K. Idehara, G. Yamagishi, K. Yamashita and M. Ito. Characterization and evaluation of a modified local lymph node assay using ATP content as a non-radio isotopic endpoint. 1:J.Pharmacol. Toxicol. Methods, 58, 1-10 (2008)
5. T. Omoria, K. Ideharab, H. Kojima, T. Sozu, K. Arima, H. Goto, T. Hanada, Y. Ikarashi, T. Inoda, Y. Kanazawa, T. Kosaka, E. Maki, T. Morimoto, S. Shinoda, N. Shinoda, M. Takeyoshi, M. Tanaka, M. Uratani, M. Usami, A. Yamanaka, T. Yoneda, I. Yoshimura and A. Yuasa. Interlaboratory validation of the modified murine local lymph node assay based on adenosine triphosphate measurement. J.Pharmacol. Toxicol. Methods, 58, 11-26 (2008)
6. A. O. Garner, E. Leibold and B. van Ravenzwaay. The in vitro absorption of microfine zinc oxide and titanium dioxide through porcine skin. Toxicol. In Vitro 20, 301-307 (2006)
7. O. V. Borisov, D. M. Coleman, K. A. Oudsema and R. O. Carter III. Determination of platinum, palladium, phodium and titanium in automotive catalytic converters using inductively coupled plasma mass spectrometry with liquid nebulization. J. Anal. Atomic Spectrom., 12, 239-246 (1997)
8. M. das G. A. Korn, A. C. Ferreira, A. C. S. Costa, J. A. Nobrega and C. R. Silva. Comparison of decomposition procedures for analysis of titanium dioxide using inductively coupled plasma optical emission spectrometry. Microchemical J., 71, 41-48 (2002)
9. A. P. Packer, D. Lariviera, C. Li, M. Chen, A. Fawcett, K. Nielsen, K. Mattson, A. Chatt, C. Scriver and L. S. Erhardt. Validation of an inductively coupled plasma mass spectrometry (ICP-MS) method for the determination of cerium, strontium, and titanium in ceramic materials used in radiological dispersal devices (RDDs). Analytica Chim. Acta, 588, 166-172 (2007)
10. I. Kimber, R. J. Dearman, E. W. Scholes and D. A. Basketter. The local lymph node assay: developments and applications. Toxicology, 93, 13-31 (1994)
11. D. Bickers, P. Calow, H. Greim, J. M. Hanifin, A. E. Rogers, J. H. Saurat, I. G. Sipes, R. L. Smith and H. Tagami, H. The RIFM expert panel. A toxicologic and dermatologic assessment of cinnamyl alcohol, cinnamaldehyde and cinnamic acid when used as fragrance ingredients. Fd. Chem. Toxicol., 43, 799-836 (2005)

F. 研究発表

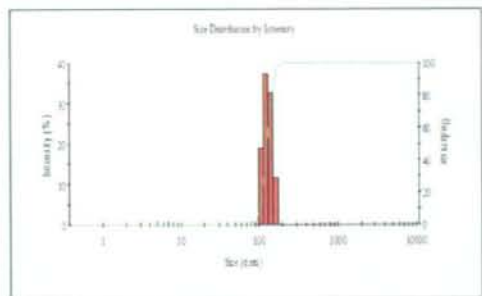
1. 論文発表
なし
2. 学会発表
なし

G. 知的財産権の出願・登録状況

1. 特許取得
なし
2. 実用新案登録
なし

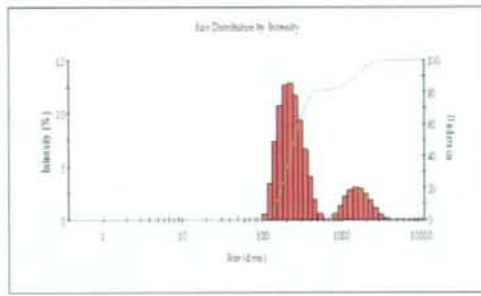
Pentalan

MZY-303S



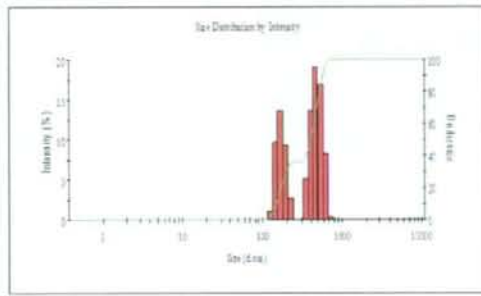
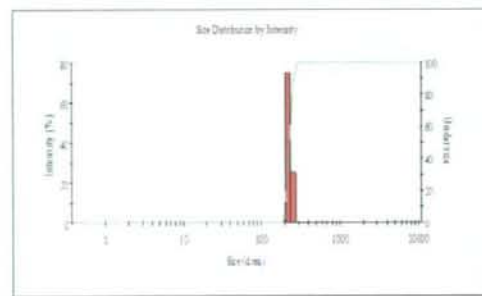
Water

MZY-303S



MZ-100

MZ-300



ZO-250

ZO-250

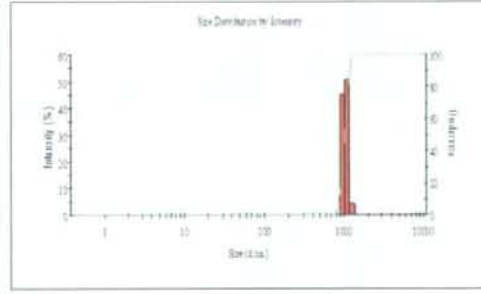
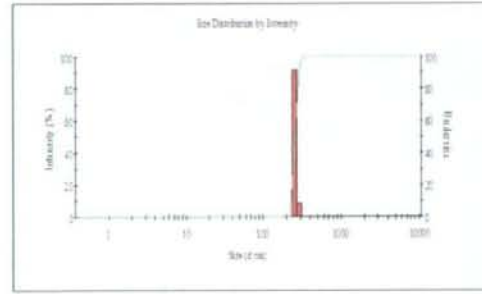


図1. ベンタラン及び水中の酸化亜鉛の粒度分布

表2. 酸化亜鉛粒子の各種容媒中での分散性

	Z-Average (d.nm) (PDI)	
	Pentalan	Water
MZY-303S	180 (1.000)	253 (0.258)
MZ-300	282 (1.000)	329 (0.423)
ZO-250	308 (1.000)	1789 (0.546)

表3. 酸化亜鉛粒子のゼータ電位

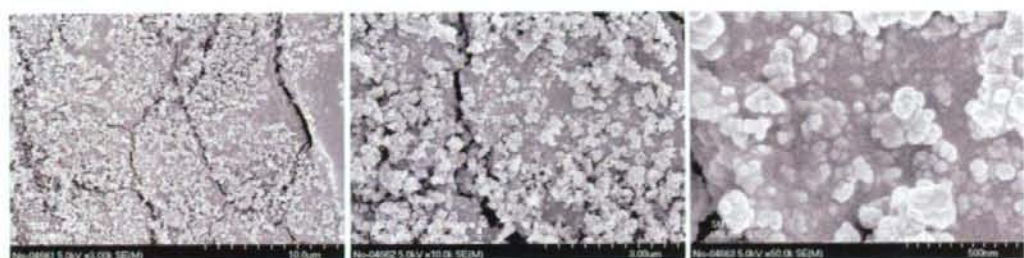
	Zeta Potential (mv)	
	Pentalan	Water
MZY-303S	-	20.7
MZ-300	-	23.5
ZO-250	-	19.5

表4. 酸化亜鉛の添加回収試験の結果

Addition (μg)	ZnO as Zn	Detect as Zn (μg)		Recovery (%)	
		Mean ± SD	Mean ± SD	Mean ± SD	Mean ± SD
0.248	0.149	0.137	0.135 ± 0.007	93.2	91.4 ± 5.0
		0.127		85.9	
		0.141		95.3	
2.480	1.488	1.753	1.772 ± 0.034	118.8	120.1 ± 2.3
		1.812		122.8	
		1.753		118.8	

Data are Mean±SD (n=3).

SMT-500AS



MT-500B



AMT-600



図2. 酸化チタン粒子の電子顕微鏡写真

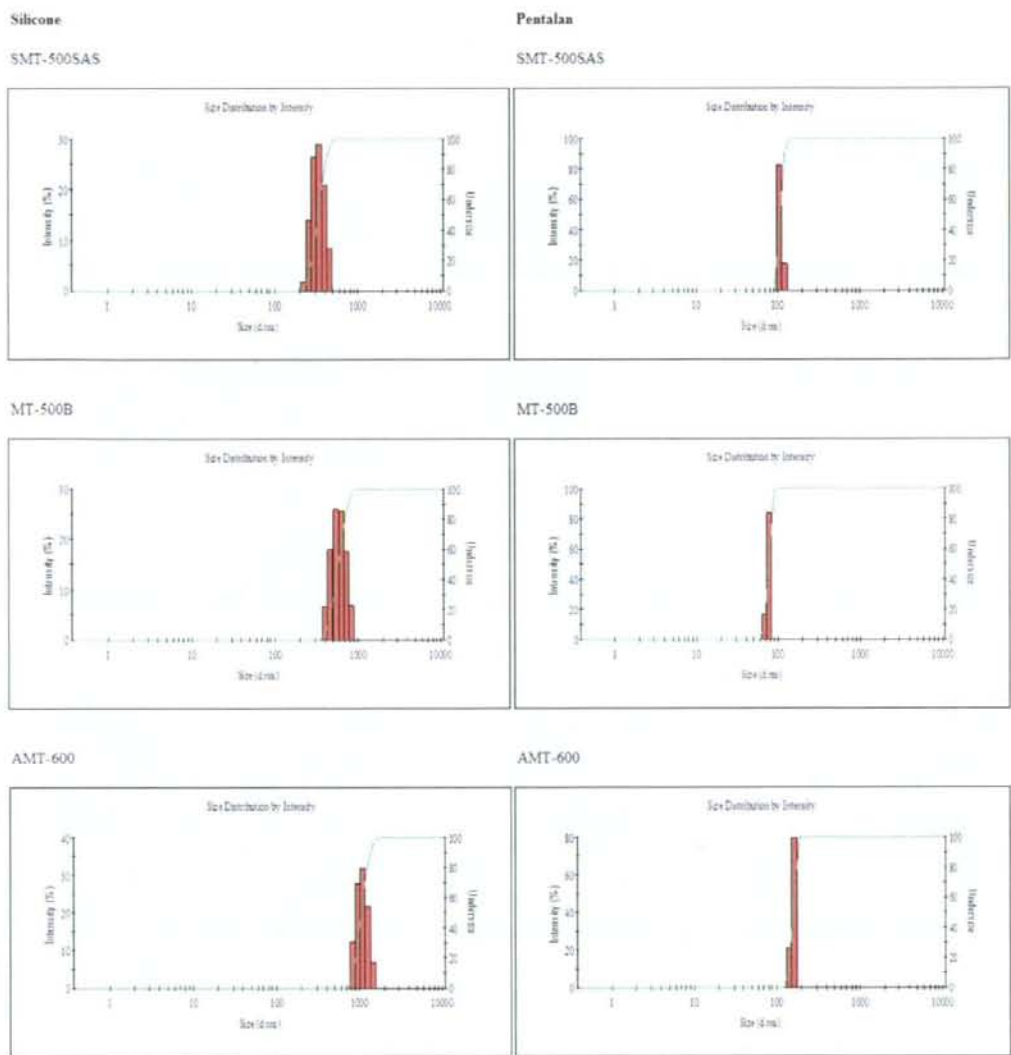


図3. シリコーンオイル、ペンタラン、水及びエタノール中での酸化チタンの粒度分布

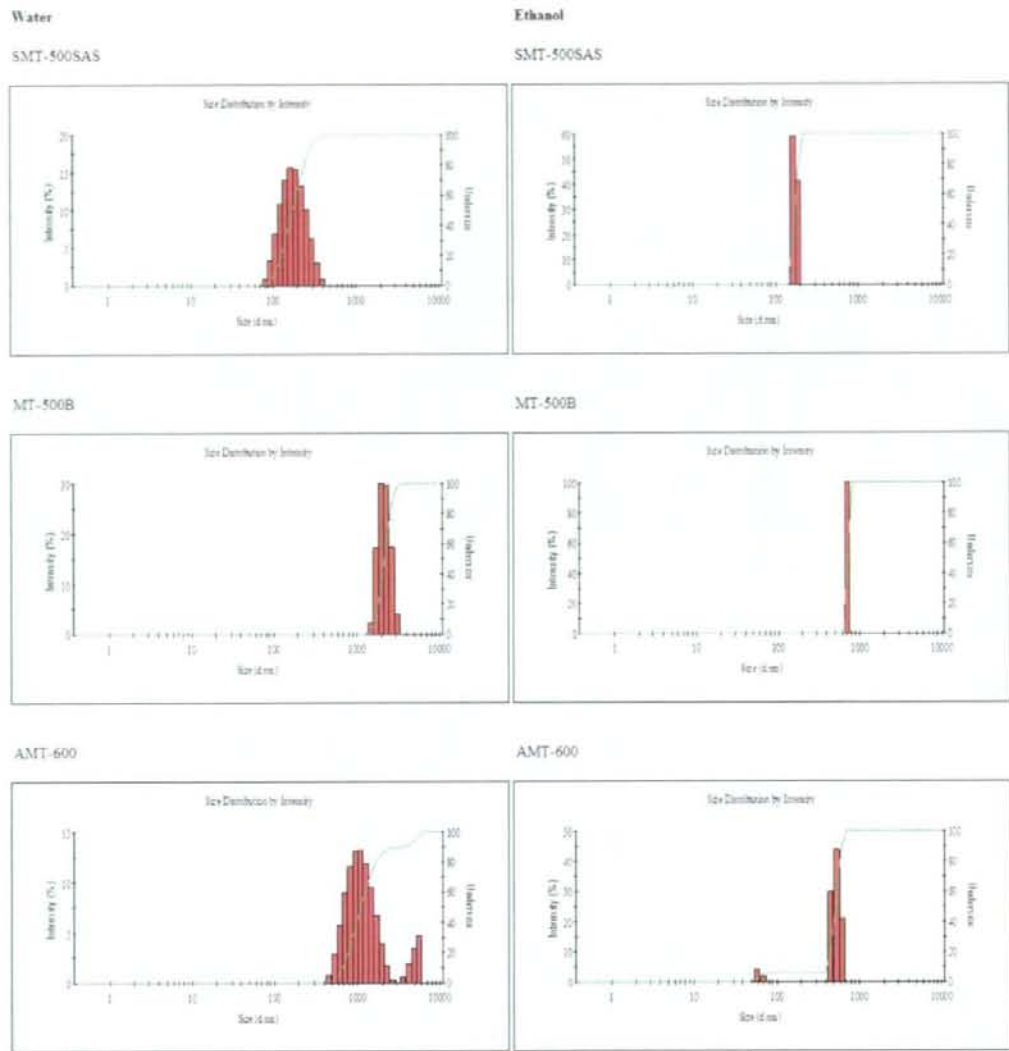


図3. 続き

表5. 各種溶媒中の酸化チタン粒子の平均粒子径

	Z-Average (d.nm) (Pdl)			
	Silicone	Pentalan	Water	Ethanol
SMT-500SAS	358 (0.195)	163 (1.000)	159 (0.161)	178 (0.126)
MT-500B	560 (0.035)	411 (1.000)	2006 (0.198)	1235 (0.162)
AMT-600	1246 (1.000)	300 (1.000)	1091 (0.397)	605 (0.429)

表6. 酸化チタン粒子のゼータ電位

	Zeta Potential(mv)			
	Silicone	Pentalan	Water	Ethanol
SMT-500SAS	49.7	-	-39.3	-43.1
MT-500B	-84	-	0.208	-14.6
AMT-600	-21.8	-	1.23	-0.413

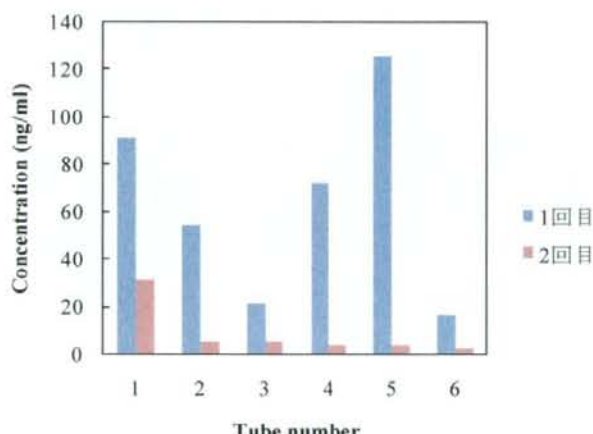


図4. ふつ化水素酸一硝酸混液を加えてマイクロウェーブ処理したときに容器から検出されるチタン濃度の変化

表7. 硝酸を分解液として用いた時の酸化チタンの添加回収試験の結果

	Addition (μg)		Detection (μg)		Recovery (%)
	TiO ₂	as Ti	as Ti	as Ti (-Blank)	
Experiment 1	0	(Blank)	0.39 ± 0.04		
	0.32	0.19	0.55 ± 0.16	0.16 ± 0.02	84.0 ± 9.7
	3.21	1.90	2.41 ± 2.02	2.02 ± 0.09	105.8 ± 4.7
Experiment 2	0	(Blank)	0.00 ± 0.00		
	3.32	1.98	1.83 ± 0.00	1.83 ± 0.00	92.5 ± 1.7
	8.31	4.90	4.55 ± 0.12	4.55 ± 0.12	91.1 ± 2.5
Experiment 3	0	(Blank)	0.08 0.02		
	0.32	0.19	0.24 ± 0.00	0.16 ± 0.00	84.4 ± 0.7
	0.81	0.48	0.48 ± 0.02	0.37 ± 0.04	79.4 ± 3.7
	1.61	0.96	0.94 ± 0.03	0.82 ± 0.07	85.6 ± 3.5

Data are Mean±SD (n=3).

表8. 肝臓に添加したチタンの回収試験

Ti addition (μg)	Ti concentration in digested solution (ng/ml)						Recovery(%)		
	Detected			Δ(-Liver only)			Ti47	Ti48	Ti49
	Ti47	Ti48	Ti49	Ti47	Ti48	Ti49			
0	67.3	12.5	10.7						
0.2	75.8	20.8	19.5	8.5	8.3	8.8	85.2	83.2	88.4
2	169.4	103.9	101.0	102.1	91.4	102.1	102.1	91.4	90.3
10	555.1	467.4	455.2	487.8	455.0	444.5	97.6	91.0	88.9

表9. けい皮アルデヒド (CA) のLLNA-DAの結果

CA Concent- ration (%)	Solvent	Lymph node weight		ATP content	
		(mg)	SI	(RLU)	SI
0	EtOH	4.4 ± 1.3	-	67770 ± 17737	-
1		7.2 ± 1.2	1.63	150779 ± 25861	2.22
2.5		9.9 ± 1.8	2.25	247081 ± 38715	3.65
5		11.5 ± 2.1	2.63	268291 ± 25633	3.96
10		17.5 ± 2.7	3.98	430850 ± 69011	6.36
0	AOO	6.4 ± 0.7	-	88025 ± 10174	-
1		7.5 ± 0.5	1.18	126804 ± 8727	1.44
2.5		6.9 ± 0.6	1.09	91951 ± 14515	1.04
5		11.4 ± 0.7	1.80	229372 ± 22218	2.61
10		14.1 ± 1.0	2.22	346747 ± 28721	3.94

表10. 酸化チタンのLLNA-DAの結果

Chemical	Concen- tration (%)	Lymph node weight		ATP content	
		(mg)	SI	(RLU)	SI
SMT-500SAS	0	5.3 ± 0.3	-	33007 ± 5131	-
	5	5.2 ± 0.5	0.98	23334 ± 7359	0.71
	10	5.5 ± 0.8	1.03	31718 ± 10930	0.96
	20	6.8 ± 0.6	1.27	46309 ± 10530	1.40
MT-500B	5	5.8 ± 1.3	1.08	37922 ± 10652	1.15
	10	5.5 ± 0.2	1.02	28251 ± 11396	0.86
	20	4.8 ± 0.7	0.91	30547 ± 5803	0.93
AMT-600	5	5.4 ± 1.0	1.02	29062 ± 5568	0.88
	10	5.9 ± 0.4	1.12	35241 ± 4477	1.07
	20	6.4 ± 1.9	1.21	34200 ± 11835	1.04

表11. CA の感作性反応と酸化チタン共存の効果

(a) Experiment 1

TiO ₂ added	Chemical	Lymph node weight		ATP content	
		(mg)	SI	(RLU)	SI
-	CA 0 %	5.6 ± 1.3	-	33060 ± 7244	-
-	CA 1 %	8.1 ± 0.6	1.44	62982 ± 13313	1.91
MT-500B 5%	CA 0 %	5.4 ± 0.4	-	27579 ± 9102	-
	CA 1 %	8.3 ± 1.4	1.54	51239 ± 15965	1.86
	CA 2.5 %	13.6 ± 3.0	2.52	122197 ± 43577	4.43
	CA 5 %	15.0 ± 1.6	2.77	156071 ± 20130	5.66
AMT-600 5%	CA 0 %	6.0 ± 0.7	-	26213 ± 6706	-
	CA 1 %	8.9 ± 1.2	1.49	57831 ± 4940	2.21
	CA 2.5 %	14.0 ± 1.7	2.33	120065 ± 27679	4.58
	CA 5 %	14.3 ± 1.4	2.38	113968 ± 26306	4.35

(b) Experiment 2

TiO ₂ added	Chemical	Lymph node weight		ATP content	
		(mg)	SI	(RLU)	SI
-	CA 0 %	4.5 ± 0.4	-	34899 ± 15361	-
-	CA 1 %	6.2 ± 1.1	1.38	53051 ± 10367	1.52
-	CA 2.5 %	8.2 ± 0.6	1.82	70737 ± 26583	2.03
-	CA 5 %	11.7 ± 1.9	2.59	123191 ± 6743	3.53
SMT500SAS 5 %	CA 0 %	4.9 ± 0.9	-	38876 ± 10381	-
	CA 1 %	7.8 ± 3.4	1.59	100062 ± 15111	2.57
	CA 2.5 %	13.0 ± 2.7	2.67	161555 ± 42670	4.16
	CA 5 %	16.8 ± 4.2	3.44	235904 ± 76655	6.07
MT500B 5 %	CA 0 %	4.4 ± 0.3	-	30178 ± 5817	-
	CA 1 %	8.8 ± 0.9	2.01	65091 ± 24737	2.16
	CA 2.5 %	13.9 ± 2.2	3.18	145698 ± 53533	4.83
	CA 5 %	14.2 ± 2.5	3.25	134890 ± 32500	4.47

平成 20 年度 厚生労働科学研究費補助金
(医薬品・医療機器等レギュラトリーサイエンス総合研究事業)
分担研究報告書

ナノ物質等を配合した化粧品及び医薬品部外品の安全性及び品質確保に係わる
試験法に関する研究

微粒子酸化チタンの経皮吸収性に関する研究

研究分担者 杉林 堅次 城西大学薬学部薬粧品動態制御学講座 教授

研究要旨： 化粧品や医薬部外品はナノマテリアルの曝露源として、その経皮吸収と生体影響が注目されている。現在、ナノマテリアルの安全性を危惧されている物質の一つに、塗料や化粧品などに汎用されている微粒子酸化チタンがある。化粧品に使用されている微粒子酸化チタンは、サンスクリーン剤やファンデーションに配合されており、紫外線散乱の効果を発揮し、ナノ化することで肌に塗布した時に白くなるのを防ぎ、透明感を出すことを目的としている。このナノマテリアルの考えうる暴露経路として、経気道暴露、経口暴露や経皮暴露が挙げられる。そこで、まず酸化チタンが経皮暴露により、皮内および全身循環系へ移行したと考え、強制的に微粒子酸化チタンを高用量静脈内投与し、酸化チタンの体内分布と脳への移行性の有無を調査した。さらに、微粒子酸化チタンの皮膚細胞に対する障害性を評価した。また、微粒子酸化チタンの *in vitro* 皮膚透過性は、三次元培養ヒト皮膚モデルを用い評価した。

A. 研究目的

ナノテクノロジーを使用したナノマテリアルは我々の生活の広範な分野で利用されている。一方で、これらのナノマテリアルは果たしてヒトに安全なのか世界的な議論になっている^{1,2)}。ナノ粒子は少なくとも一方向の長さがおおむね 1-100 nm の粒子と定義される³⁾。また、ナノ粒子は、目的を持って產生される工業ナノ粒子と非意図的ナノ粒子に分けられる。非意図的ナノ粒子には、森林火災や火山の噴火による灰、溶接研磨などの工業生産の副産物とディーゼル排出の粒子があり、これらの暴露は今後の科学技術進歩に伴って減少出来ると考えられる。しかし、工業ナノ粒子は食品や化粧品中にも含まれているため、産業従事者だけでなく、生活者の暴露も想定しなければならない。また、安全性の観点からナノマテリアルは、溶解し生体内で分解されやすいものと不溶性で生体内で分解されにくいものに分類される⁴⁾。前者の例としてリポソーム、マイクロエマルションやナノエマルションなどが挙げられ、これらは溶解物や代謝物の毒性が懸念される。一方、後者の例としてカーボンナノチューブやアスベストなどが挙げられ、物質自体の蓄積性や毒性が懸念される。現在、検討されているナノ粒子の毒性研究の一番の問題点は、ナノ粒子に対する試験法や測定法が未確立な点である。また、一次粒子径と二次粒子径を正確に分離できない点や実際の使用量と研究量に大きな隔たりがあるため、正確な毒性評価ができないのが現状である。

現在、ナノマテリアルの安全性を危惧されている物質の一つに、塗料や化粧品などに汎用されている微粒子酸化チタンがある。

化粧品に使用されている微粒子酸化チタンは、サンスクリーン剤やファンデーションに配合されており、紫外線散乱の効果を發揮し、ナノ化することで肌に塗布した時に白くなるのを防ぎ、透明感を出すことを目的としている。このナノマテリアルの考える暴露経路として、経気道暴露、経口暴露や経皮暴露が挙げられる。そこで、まず強制的に微粒子酸化チタンを高用量静脈内投与し、酸化チタンの体内分布と脳への移行性の有無を調査した。また、微粒子酸化チタンを皮膚細胞に適用した時の細胞障害性を評価した。

B. 理論

皮膚浸透性や皮膚透過性の定量的指標として透過係数が用いられる。角層は部位によって異なるが、約 20 層の角質細胞層から成り、約 20 μm の厚みがある。最上層から一日一層剥がれるので 1 μm/day すなわち 10⁻⁹ cm/s 以下の透過係数を示す物質は丸一日かかるようやく角層 2 層目に直前に移行したとしてもこのとき物質が移行した部分（1 層目）が体から剥がれる。2 × 10⁻⁸ cm/s なら一日で約 20 μm、すなわち角層下層まで到達すると考えることができる。

C. 研究方法

試薬：シリカ処理微粒子酸化チタン（MT-150AW）はティカ株式会社（大阪）より供給された。

微粒子酸化チタンの粒子径：実験に使用する微粒子酸化チタンの一次粒子径は TEM 画像から image processing software (Mac-View Ver. 3, Mountech Co., Ltd., Tokyo,

Japan)を用いて、また、二次粒子径は動的光散乱粒子径分析装置 (Microtrac 9340-UPA, Nikkiso Co., Ltd., Tokyo, Japan) を用いて測定した。

静脈内投与実験：5%、1%、0.2%シリカ処理微粒子酸化チタン (rutile 型) /生理食塩液分散体を、7 週令の ddY マウスの尾静脈から 0.05 mL 投与し、5 分、72 時間、1 ヶ月、6 ヶ月後にマウスから心臓採血を行い、心肺灌流をして脳、肺、心臓、肝臓、腎臓、脾臓を摘出後、各臓器の質重量を測定後、Soluene-350 で血液および臓器を溶解させ、ICP-MS でチタンの定量を行った。また、投与後の肝臓を 2%グルタールアルデヒド・2%パラホルムアルデヒド/HEPES 緩衝液で固定し細断して transmission electron microscope (TEM, JEM2000EX, JEOL Ltd., Tokyo, Japan)にて観察した。さらに、血清を採取し、炎症マーカー (BUN, CPK, AST, ALT、LDH) 量を測定した。

ICP-MS のサンプル調製法：Soluene-350 で臓器を溶解させた試料、約 0.1 g を正確にとり、160°C のホットプレート上で乾固し水分を蒸発させた。これを 500°C のホットプレート上で炭化した後、500°C の電気炉中で一晩灰化した。放冷後、硝酸 2 mL 及び水少量を加え、160°C のホットプレート上で 30 分加温溶解した。放冷後、水で 50 mL とし、試験溶液とした。

ICP-MS の定量方法：試験溶液を 10 mL とり、硝酸及び内部標準液 (コバルトの 1 µg/mL 溶液) をそれぞれ 100 µL ずつ加え、ICP-MS (Agilent 7500ce, Agilent Technologies, Santa Clara, CA) に導入した。別に、市販のチタン標準液を水で段階的に希釈して調製した標準溶液を 10 mL とり、60%硝酸及び

内部標準液をそれぞれ 100 µL ずつ加え、ICP-MS に導入した。コバルトに対するチタンのイオンカウント数比を Y 軸に、チタンの濃度を X 軸にとり、得られた検量線から試験溶液中のチタン濃度を求め、Soluene-350 で臓器を溶解させた試料中のチタンを定量した。ICP-MS の条件は、RF パワー 1600W、サンプリング位置 8.7 mm、プラズマガス (アルゴン) 15 L/min、キャリアガス (アルゴン) 0.70 L/min、パルスモードで測定した。

細胞障害性試験 (MTT 試験)⁵⁾：96 well プレートに 2×10^4 cells/well に調製したヒト真皮由来線維芽細胞 (HDF) を播き、37°C、5% CO₂ 存在下で 24 時間インキュベート後 0.001~5%に調製した微粒子酸化チタン懸濁液、コントロールとして Dulbecco's modified Eagle's medium (DMEM) + 10% fetal bovine serum (FBS)、ポジティブコントロールとして 3%ドデシル硫酸ナトリウム (SDS) 溶液を各、37°C、5% CO₂ 存在下で 48 時間適用した。その後、MTT-培地を 100 µg/well、4 時間適用し、生成したホルマザンを 0.04 N 塩酸-イソプロパノール液で 30 分抽出し、分光光度法により 570 nm の吸光度を測定し、ホルマザン量を求めた。

In vitro 皮膚透過性試験⁶⁾：各種三次元培養ヒト皮膚モデル (Epiderm, LSE-high and LDM) を用いて評価した。Epiderm は培養表皮モデル、LSE-high は表皮および真皮から構成される全層モデルとして、LDM は真皮モデルとして使用した。培養皮膚を side-by-side 拡散セルに装着し、角層側 (ドナー) には、3 mL の 0.5% silica coated TiO₂ を、真皮側 (レシーバー) には 3 mL の生理食塩水を適用した。セルの温度は 32 °C に

保ち、レシーバー内はスターへッド型攪拌子をマグネティックスターラー（マルチスターラー MC-301、 SCINICS Co., Tokyo, Japan）により 1,200 rpm で回転させることで攪拌した。 経時にレシーバー側から 0.5 mL の溶液をサンプリングし、その都度、同容積の溶液を充填した。サンプリング溶液の薬物濃度は ICP-MS でチタンの定量を行った。また、適用 24 時間経過後には、レシーバー溶液を全量回収し、溶液中の TiO₂ 濃度を測定した。

（倫理面への配慮）

動物実験倫理委員会にて承諾後、城西大学生命科学センター倫理規定に従い行った。

D. 研究結果

微粒子酸化チタンの粒子径: 一次粒子径は 15 nm で針状結晶をしていることが判った。また、二次粒子径は 220 ± 105. 2 nm であった。

静脈内投与実験: 酸化チタンのほとんど（チタン量として約 60%）が静脈内投与後肝臓に集積した (Fig. 1)。一方、投与後 6 ヶ月には脾臓のチタン濃度が上昇した。また、脳への分布は観察されなかった。TEM 観察の結果、投与 72 時間後には肝臓のディッセの腔に微粒子酸化チタンが確認され、投与 1 ヶ月後にはクッパー細胞や肝実質細胞中のライソーム中に微粒子酸化チタンの取り込みが確認された。なお、酸化チタン粒子の取り込みによる形態変化はみられなかった。また、微粒子酸化チタンの静脈内投与後の炎症マーカーの測定では、BUN や LDH で増加傾向がみられたが、どれも有意な差は見られなかった。

細胞障害性試験 (MTT 試験): シリカ処

理微粒子酸化チタンおよび無処理酸化チタン共、それぞれ添加濃度が高くなると、生細胞率の減少傾向が見られた (Fig. 2)。

In vitro 皮膚透過性試験: 3 種類の培養皮膚を用いて 24 時間の透過性試験を行ったが、TiO₂ はレシーバー側に認められなかつた (data not shown)。ICP-MS の Ti の定量限界および *In vitro* 皮膚透過性実験条件より透過係数を算出すると TiO₂ の皮膚透過係数は 7.30×10^{-10} cm/s 以下であると推測できた。

E. 考察

静脈内投与後、酸化チタンはほとんどが肝臓に集積しごく少量が体外に排泄されていくものと考えられている。投与 6 ヶ月後に脾臓や肝臓中の酸化チタン量が増量するのはおそらく投与時に血管や赤血球などと結合した酸化チタンが脾臓で処理され、その後、最終的な処理過程である肝臓に再集積してきたものだと考えられる。また、投与 1 ヶ月後の TEM 観察よりライソーム画分に微粒子酸化チタンの取り込みが確認されたことから、この画分の酵素が酸化チタンの消失に影響していることが考えられる。今後は、更にライソーム画分における消失メカニズムを考えていかなければならない。また、今回調査した炎症マーカーの値はどれも有意な差を示さなかったが、投与後長時間経過時の炎症マーカーの値や他の炎症マーカーを詳細に検討していくことが重要と考えられる。

細胞障害性試験では、適用した酸化チタン濃度が高くなるにつれて生細胞率の減少がみられた。HDF は皮膚組織の真皮を構成する主細胞であり、生細胞率の減少がみら

れた酸化チタン濃度は HDF に暴露されるとは到底考えられない高濃度であるが、万一、皮膚のバリア機能を失った状態の肌に暴露された場合、細胞障害が現れる可能性が示唆された。

In vitro 皮膚透過性試験では、チタンの皮膚透過性が認められなかった (data not shown)。また、理論的に算出した TiO₂ の透過係数は、角層の落屑速度 (ca. 1×10⁻⁹ cm/s) より低値を示したことから、健常な皮膚に適用した TiO₂ は、角層より下層の生きた表皮や真皮への移行可能性は低いと考えられた。

F. 結論

1. 微粒子酸化チタンは通常の使用方法で経皮暴露による皮膚からの吸収は考えられないと思われる。
2. たとえ、体内に吸収されたとしても少量ならば消失の可能性も考えられるが、高用量の場合は蓄積が考えられる。
3. 使用する皮膚の状態（健常皮膚や創傷皮膚）を考慮して今後、経皮暴露による更なる検討が必要と考えられる。

G. 参考文献

- 1) Scientific Committee on Consumer Products: Preliminary opinion on safety on nanomaterials in cosmetic products. (2007).
- 2) Scientific Committee on Emerging and Newly-Identified Health Risks: Opinion on the appropriateness of the risk assessment methodology in accordance with the technical guidance documents for new and existing substances for assessing the risk of nanomaterials. (2007).

3) Nanotechnologies: Terminology and definitions for nano-objects ; Nanoparticle, nanofibre and nanoplate. ISO/TS 27687:2008 1st version (2008).

4) B. Behling: EC committee proposes new nanomaterials risk assessment procedure. *The Rose Sheet*, **28**, 12 (2007).

5) T. Mosmann: Rapid colorimetric assay for cellular growth and survival: application to proliferation and cytotoxicity assays. *J. Immunol. Methods*, **65**, 55-63 (1983).

H. 研究発表

1. 論文発表

1) K. Sugibayashi, H. Todo, E. Kimura, Safety evaluation of titanium dioxide nanoparticles by their absorption and elimination profiles. *J. Toxicol Sci* 33(3) (2008) 293-298.

2) 杉林堅次、紫外線防御試験法の国際的動向と紫外線防御剤の開発の課題：化粧品に用いられるナノ粒子の曝露と安全性問題のあり方、*Fragrance journal*、10月号 (2008) 38-41

2. 学会発表

杉林堅次、ナノ粒子の皮膚暴露・皮膚浸透の可能性を考える、第 15 回 日本免疫毒性学会、9 月

I. 知的所有権の取得状況

1. 特許取得

なし

2. 実用新案登録

なし

3. その他

なし

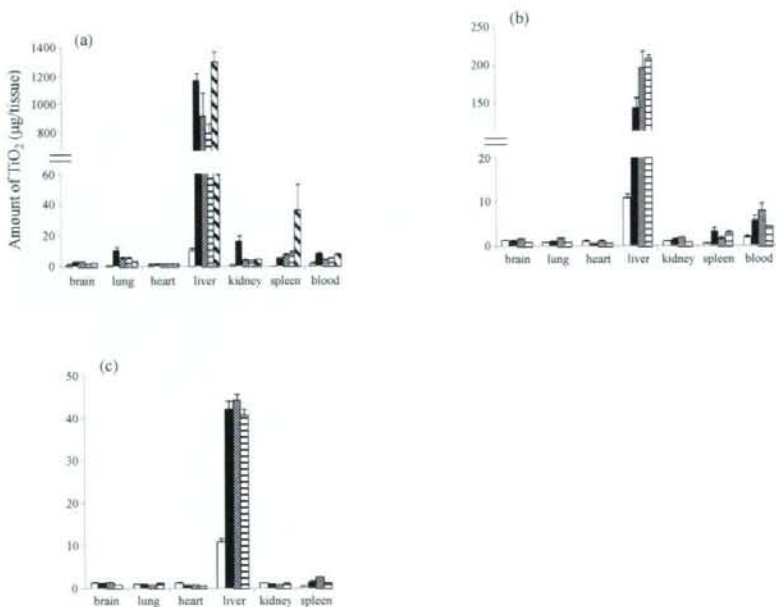


Fig. 1. Amount of TiO_2 after *i.v.* injection of TiO_2 nanoparticles.
(a): 5% TiO_2 , (b): 1% TiO_2 , (c): 0.2% TiO_2 .
□: control, ■: 5 min, ▨: 72 h, ▨: 1 month, ▨: 6 months.
Values are mean + S.E. ($n = 3-5$).

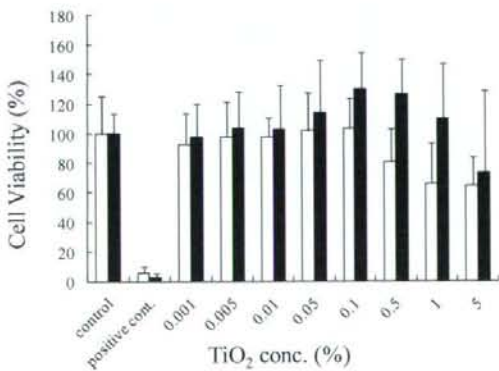


Fig. 2. MTT assay of TiO_2 microparticles.
□: silica coated TiO_2 , ■: noncoated TiO_2 .
Values are mean + S.D.

III. 研究成果の刊行に関する一覧表